

УДК 548.736:546.55/.59:54.057

**ИССЛЕДОВАНИЕ НОВОЙ МОЛЕКУЛЯРНО-КРИСТАЛЛИЧЕСКОЙ СТРУКТУРЫ  
КООРДИНАЦИОННОГО ПОЛИМЕРА НИТРАТА МАРГАНЦА(II)  
С 4,4,10,10-ТЕТРАМЕТИЛ-1,3,7,9-ТЕТРААЗОСПИРО[5.5]УНДЕКАН-2,8-ДИОНОМ**

**Е.Е. Нетреба, А.М. Федоренко**

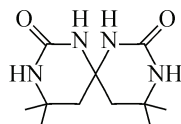
*Таврический национальный университет им. В.И. Вернадского, Симферополь, Украина*  
E-mail: evgtnu@gmail.com

*Статья поступила 13 апреля 2012 г.*

Синтезирован координационный полимер  $\{[\text{Mn}(\text{H}_2\text{O})_2(\text{C}_{11}\text{H}_{20}\text{N}_4\text{O}_2)_2]^{2+} \cdot 2(\text{NO}_3^-)\}_n$  и определена его структура. Кристаллы моноклинные: пр. гр.  $P2_1/c$ ,  $a = 12,3771(3)$ ,  $b = 14,8775(3)$ ,  $c = 18,1388(4)$  Å,  $\beta = 106,611(2)^\circ$ ,  $V = 3200,70(12)$  Å<sup>3</sup>,  $d_{\text{выч}} = 1,44$  г/см<sup>3</sup>,  $Z = 4$ . Ионы марганца координированы четырьмя атомами кислорода четырех органических лигандов (два из которых являются симметрически независимыми), а также двумя молекулами воды. Координационный полиэдр представляет собой искаженный октаэдр, углы О—Mn—O между соседними атомами кислорода варьируются в диапазоне 83,96(5)–98,11(5)°. Нитрат-анионы находятся во внешней координационной сфере комплекса. Расстояния Mn...Mn в полимере составляют 8,56 Å. Полимерные координационные цепочки в кристалле связаны в слои, перпендикулярные оси  $b$ , за счет серии межмолекулярных водородных связей между органическими лигандами, молекулами воды и нитрат-анионами.

**Ключевые слова:** марганец(II), спирокарбон, координационный полимер, кристаллическая структура, PCA.

Координационные полимеры с лигандами в виде циклических спиробисмочевин относятся к классу практически не изученных веществ. Одним из таких лигандов является 4,4,10,10-тетраметил-1,3,7,9-тетраазоспиро[5.5]ундекан-2,8-дион или спирокарбон (Sk):



Данное вещество как предшественник мочевины обладает рядом ценных биологических свойств: низкий уровень токсичности,  $LD_{50} = 3000$  мг/кг [1], проявляет мембранотропность [2], способно проходить и накапливаться в цитоплазме лейкозных клеток линий L1210 и СЕМ-T4 мыши и человека соответственно [3]. Также Sk способствует повышению количества белка и снижению крахмалистости в зерне овса [4]. В работе [5] доказана эффективность применения спирокарбона как стимулятора каллюсообразования у Форзиции европейской и стимулятора корнеобразования у Чубушника венечного. В работе [6] М.В. Козычар показывает эффективность применения спирокарбона как стимулятора роста и развития в овцеводстве. Несмотря на масштабное изучение биологических свойств спирокарбона в литературе отсутствует информация о его координационных соединениях.

Для выяснения специфики формирования координационного полимера Mn(II) и особенностей координации спирокарбона предпринято определение структуры кристаллов  $\{[\text{Mn}(\text{H}_2\text{O})_2 \cdot (\text{C}_{11}\text{H}_{20}\text{N}_4\text{O}_2)_2]^{2+} \cdot 2(\text{NO}_3^-)\}_n$  (соединение I).

### ЭКСПЕРИМЕНТАЛЬНАЯ ЧАСТЬ

**Синтез.** Для получения I использовали  $\text{Mn}(\text{NO}_3)_2 \cdot 6\text{H}_2\text{O}$  (ХЧ) и 4,4,10,10-тетраметил-1,3,7,9-тетраазоспиро[5.5]ундекан-2,8-дион (спирокарбон — Sk), полученный по методике [7], и ацетон (ОСЧ). Для этого гексагидрат нитрата марганца(II) растворяли в небольшом объеме ацетона, затем вносили спирокарбон до растворения и 5—10 мин перемешивали на магнитной мешалке. Полученный раствор фильтровали и выдерживали несколько часов до испарения 1/3 растворителя и формирования кристаллов. Выделившиеся кристаллы светло-коричневого цвета отфильтровывали, промывали ацетоном и сушили на воздухе. Выход по лиганду ~83 %.

Элементный анализ проведен на элементном анализаторе EA-3000 фирмы EuroVector (Италия). Найдено, %: C 37,78, H 6,01, N 19,84, O 26,10. Для  $\{[\text{Mn}(\text{H}_2\text{O})_2(\text{C}_{11}\text{H}_{20}\text{N}_4\text{O}_2)_2]^{2+} \cdot 2(\text{NO}_3^-)\}_n$  вычислено, % C 37,99, H 6,38, N 20,14, O 27,60.

ИК спектры исходных реагентов и синтезированного координационного полимера I записывали на спектрофотометре Specord-75IR в области 400—4000  $\text{cm}^{-1}$  (сuspензия в вазелиновом масле).

**РСА.** Экспериментальный материал для кристаллов I получен на автоматическом четырехкружном дифрактометре Xcalibur 3. Структура расшифрована прямым методом по комплексу программ SHELX-97 [8]. Положения атомов водорода рассчитаны геометрически и уточнены по модели наездника с  $U_{\text{изо}} = nU_{\text{экв}}$  несущего атома ( $n = 1,5$  для воды и метильных групп,  $n = 1,2$  для остальных атомов водорода). Структура уточнена по  $F^2$  полноматричным МНК в анизотропном приближении для неводородных атомов до  $wR_2 = 0,103$  по 10326 отражениям ( $R_1 = 0,045$  по 7489 отражениям с  $F > 4\sigma(F)$ ,  $S = 1,08$ ).

Основные характеристики эксперимента и параметры элементарной ячейки приведены в табл. 1. Координаты атомов и другие параметры структуры I депонированы в Кембриджском банке структурных данных (CCDC № 876570).

Таблица 1

Основные кристаллографические данные и характеристики эксперимента для структуры I

Параметр	Значение
Эмпирическая формула	$\text{C}_{22}\text{H}_{44}\text{MnN}_{10}\text{O}_{12}$
Молекулярный вес	695,61
Температура съемки, К	100
Сингония	Моноклинная
Пр. гр.	$P2_1/c$
Параметры ячейки: $a$ , $b$ , $c$ , Å; $\beta$ , град.	12,3771(3), 14,8775(3), 18,1388(4); 106,611(2)
$V$ , Å <sup>3</sup>	3200,70(12)
$Z$	4
$d_{\text{выч}}$ , г/см <sup>3</sup>	1,44
$\mu(\text{MoK}_\alpha)$ , мм <sup>-1</sup>	0,49
$F(000)$	1468
Излучение	MoK $\alpha$ , графитовый монохроматор
Тип сканирования	$\omega$
$2\theta_{\text{макс}}$ , град.	64,82
$R$ -фактор, %	4,5
Общее число отражений / независимых	19527 / 10326 ( $R_{\text{int}} = 0,032$ )
Число отражений с $F > 4\sigma(F)$ , $S = 1,08$	7489
$R$ (все данные)	$R_1 = 0,075$ , $wR_2 = 0,103$

Таблица 2

## Основные ИК полосы поглощения лиганда и соединения I

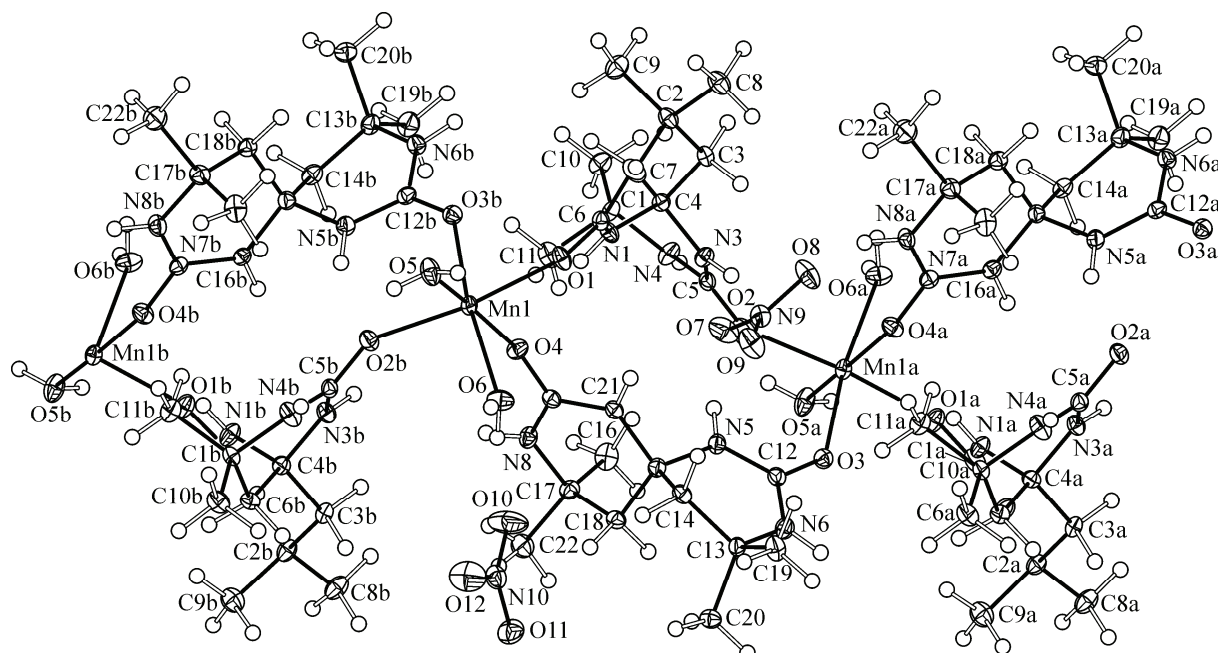
$\nu, \text{см}^{-1}$	Sk·H <sub>2</sub> O	Соединение I
$\nu_s(\text{H—O—H}), \nu_{as}(\text{H—O—H})$	3480	3480
$\nu_s(\text{N—H}), \nu_{as}(\text{N—H})$	3320, 3280, 3180, 3050	3350, 3280
$\nu(\text{C=O, амид I})$	1640	1620
$\nu(\text{C—N}) + \delta(\text{CH}_3)$	1450, 1345	1480, 1450
$\nu_{as}(\text{NO}_3^-)$	—	1330
$\nu_{as}(\text{C—O}) + \delta(\text{C—H})$	1250, 1210, 1120	1240, 1210
$\nu_\gamma(\text{скелетные колебания кольца}) + \gamma(\text{—CH}_2—) + \delta(\text{—C=H}) + \nu_s(\text{NO}_3^-)$	1090, 1010, 820, 770, 750, 620	1100, 1030, 830, 740, 680, 620
$\delta(\text{амид III}) + \pi(\text{C=O, выход из плоскости цикла})$	590	580
$\delta_\gamma(\text{скелетные колебания кольца})$	490	490

## РЕЗУЛЬТАТЫ И ИХ ОБСУЖДЕНИЕ

В ИК спектрах соединения I и лиганда наблюдаются следующие полосы (табл. 2). Как видно при сравнении валентных колебаний  $\nu(\text{C=O, амид I})$ , происходит смещение на  $10 \text{ см}^{-1}$  в дальнюю область из-за координирования, а также смещение в ближнюю область  $\nu_s(\text{N—H})$  и  $\nu_{as}(\text{N—H})$ , что характерно для аминогрупп при координированном карбониле [10]. На спектре есть полоса поглощения  $\nu(\text{O—H})$ , содержащейся воды и набор полос поглощения координированного лиганда. Необходимо отметить, что некоординированный нитрат-анион имеет несколько характеристических линий при  $1390, 830, 720 \text{ см}^{-1}$  [11], на спектре соединения I такие линии присутствуют в областях  $1350, 840, 730 \text{ см}^{-1}$ , что свидетельствует о том, что нитрат-ион не координирован и находится за сферой координации.

Соединение I представляет собой координационный полимер  $\{[\text{Mn}(\text{C}_{11}\text{H}_{20}\text{N}_4\text{O}_2)_2(\text{H}_2\text{O})_2]^{2+} \cdot 2(\text{NO}_3^-)\}_n$ . Ионы марганца координированы четырьмя атомами кислорода четырех органических лигандов (два из которых являются симметрически независимыми), а также двумя молекулами воды. Координационный полиэдр представляет собой искаженный октаэдр с расстояниями Mn—O 2,123(1)—2,256(1) Å, углы O—Mn—O между соседними атомами кислорода варьируют в диапазоне 83,96(5)—98,11(5)°. Нитрат-анионы находятся во внешней координационной сфере комплекса (см. рисунок).

Насыщенные циклы молекул органических лигандов различаются своей конформацией. Цикл, содержащий атом N3, находится практически в неискаженной конформации *полукресло* с планарным фрагментом NH—C(=O)—NH—C(spiro) (торсионный угол 1,4(3)°), атомы C6 и C7 отклоняются от этой плоскости на -0,315(3) и 0,298(3) Å. Циклы, которые содержат атомы N1 и N7, находятся в конформации асимметричное *полукресло* и характеризуются некоторой не-планарностью фрагмента NH—C(=O)—NH—C(spiro) (торсионные углы 11,8(3) и -9,9(3)° соответственно) и отклонением атомов C2, C3 и C17, C18 от средней плоскости остальных атомов цикла на 0,479(3), -0,235(3) и -0,311(3), 0,354(3) Å соответственно. Аналогичная конформация наблюдается и для цикла, содержащего атом N5, но приблизительно планарным является фрагмент NH—C(=O)—NH—C(Me)<sub>2</sub> (торсионный угол -9,7(3)°), атомы C14 и C15 отклоняются от этой плоскости на 0,334(3) и -0,344(3) Å. Углы между средними плоскостями двух циклов молекулы составляют 89,08(4)° (для молекулы содержащей N1) и 79,66(5)° (для молекулы содержащей N5). Такая конформация циклов приводит к возникновению укороченных внутримолекулярных контактов между NH-группой одного цикла и аксиальной метильной группой другого цикла H1...H11c 2,12 и H5...H21c 2,24 Å, а также между метильной и метиленовой группами H7a...H9c 2,19 и H15a...H20a 2,11 Å (сумма ван-дер-ваальсовых радиусов 2,32 Å [12]). Карбонильные группы удлинены до 1,257(2)—1,268(2) Å вследствие координации на атом металла.



Строение соединения I по данным рентгеноструктурного исследования

При этом в мочевинных фрагментах  $\text{N}1-\text{C}1(=\text{O}1)-\text{N}2$  и  $\text{N}5-\text{C}12(=\text{O}3)-\text{N}6$  длины двух связей  $\text{C}-\text{N}$  практически эквивалентны и близки среднему значению  $1,35 \text{ \AA}$  [13]. В фрагментах  $\text{N}3-\text{C}5(=\text{O}2)-\text{N}4$  и  $\text{N}3-\text{C}5(=\text{O}2)-\text{N}4$  наблюдается укорочение связей  $\text{N}4-\text{C}5$   $1,331(2)$  и  $\text{N}8-\text{C}16$   $1,331(2) \text{ \AA}$ , что свидетельствует о более сильном сопряжении карбонильных групп с этими атомами азота. Расстояния  $\text{Mn}\dots\text{Mn}$  в полимере составляют  $8,56 \text{ \AA}$ .

Полимерные координационные цепочки в кристалле связаны в слои перпендикулярно оси  $b$  за счет серии межмолекулярных водородных связей между органическими лигандами, молекулами воды и нитрат-анионами:  $\text{N}1-\text{H}1\dots\text{O}4$  ( $\text{H}\dots\text{O}$   $2,17 \text{ \AA}$ ,  $\text{N}-\text{H}\dots\text{O}$   $153^\circ$ ),  $\text{N}2-\text{H}2\dots\text{O}12^i$  [<sup>i</sup>  $2-x, 1-y, 2-z$ ] ( $\text{H}\dots\text{O}$   $2,22 \text{ \AA}$ ,  $\text{N}-\text{H}\dots\text{O}$   $133^\circ$ ),  $\text{N}3-\text{H}3\dots\text{O}7$  ( $\text{H}\dots\text{O}$   $2,15 \text{ \AA}$ ,  $\text{N}-\text{H}\dots\text{O}$   $139^\circ$ ),  $\text{N}4-\text{H}4\dots\text{O}9^{ii}$  [<sup>ii</sup>  $x, 1/2-y, -1/2+z$ ] ( $\text{H}\dots\text{O}$   $2,15 \text{ \AA}$ ,  $\text{N}-\text{H}\dots\text{O}$   $144^\circ$ ),  $\text{N}5-\text{H}5\dots\text{O}2$  ( $\text{H}\dots\text{O}$   $2,01 \text{ \AA}$ ,  $\text{N}-\text{H}\dots\text{O}$   $157^\circ$ ),  $\text{N}7-\text{H}7\dots\text{O}6$  ( $\text{H}\dots\text{O}$   $2,24 \text{ \AA}$ ,  $\text{N}-\text{H}\dots\text{O}$   $146^\circ$ ),  $\text{N}8-\text{H}8\dots\text{O}8^{iii}$  [<sup>iii</sup>  $2-x, 1/2+y, 3/2-z$ ] ( $\text{H}\dots\text{O}$   $2,01 \text{ \AA}$ ,  $\text{N}-\text{H}\dots\text{O}$   $157^\circ$ ),  $\text{O}5-\text{H}5a\dots\text{O}9^i$  ( $\text{H}\dots\text{O}$   $1,94 \text{ \AA}$ ,  $\text{O}-\text{H}\dots\text{O}$   $174^\circ$ ),  $\text{O}5-\text{H}5b\dots\text{O}6^i$  ( $\text{H}\dots\text{O}$   $2,15 \text{ \AA}$ ,  $\text{O}-\text{H}\dots\text{O}$   $152^\circ$ ),  $\text{O}6-\text{H}6a\dots\text{O}10$  ( $\text{H}\dots\text{O}$   $1,88 \text{ \AA}$ ,  $\text{O}-\text{H}\dots\text{O}$   $169^\circ$ ),  $\text{O}6-\text{H}6b\dots\text{O}1^i$  ( $\text{H}\dots\text{O}$   $1,93 \text{ \AA}$ ,  $\text{O}-\text{H}\dots\text{O}$   $164^\circ$ ). Слои связаны между собой слабыми водородными связями  $\text{N}6-\text{H}6\dots\text{O}11^{iv}$  [<sup>iv</sup>  $1-x, -1/2+y, 3/2-z$ ] ( $\text{H}\dots\text{O}$   $2,36 \text{ \AA}$ ,  $\text{N}-\text{H}\dots\text{O}$   $147^\circ$ ).

## ВЫВОДЫ

Синтезирован координационный полимер нитрата марганца(II) с 4,4,10,10-тетраметил-1,3,7,9-тетраазоспиро[5.5]ундекан-2,8-дионом или спирокарбоном (Sk). Особенности его молекулярной и кристаллической структуры изучены методом РСА.

## СПИСОК ЛИТЕРАТУРЫ

1. Трибрат Т.П., Ересько В.А. // Всеукр. науч.-практ. конф. (Украина, Херсон), 1994. – С. 101.
2. Старицович Л.С., Старицович М.А., Речицкий А.Н. и др. // Журн. Біологічні Студії / Studia Biologica. – 2009. – 3, № 2. – С. 93.
3. Старицович Л.С., Дудок Е.П., Сибирная Н.А. и др. // Науч. журн.: Медична хімія. – 2009. – 11, № 1. – С. 57.
4. Мусатов А.Г., Семяшкина А.А., Дащевский Р.Ф. // Хранение и переработка зерна. – 2003. – С. 16.
5. Гуревич А.С., Титов В.А., Бабаева Э.В. и др. Сб. научн. труд. Интродукция, акклиматизация и культивация растений, 1998.

6. Козичар М.В. Прийоми підвищення вовнової продуктивності овець асканійської тонкорунної породи. Автореф. дис. ... канд. бiol. наук. – Херсон: ХНТУ, 1999.
7. Нетреба Е.Е., Федоренко А.М., Павлов А.А. // Наук. вісник Ужгород. Ун-ту (Сер. Хімія). – 2011. – № 1(25). – С. 107.
8. Sheldrick G.M. // Acta Crystallogr., Sect. A. – 2008. – **64**. – P. 112.
9. Rodriguez-Carvajal J., Roisnel T. FullProf.98 and WinPLOTR: New Windows 95/NT Applications for Diffraction. Commission for Powder Diffraction, International Union of Crystallography, Newsletter No.20 (May—August) Summer, 1998.
10. Григорьев А.И. Введение в колебательную спектроскопию неорганических соединений. – М.: МГУ, 1977.
11. Наканиси К. Инфракрасные спектры и строение органических соединений. – М.: Мир, 1965.
12. Зефиров Ю.В., Зоркий П.М. // Успехи химии. – 1989. – **58**, № 5. – С. 713.
13. Burgi H.-B., Dunitz J.D. Structure correlation. Vol. 2. – Weinheim: VCH, 1994.